

## I Cas des fonctions d'une variable réelle

$n \in \mathbb{N}$ ,  $I$  intervalle non trivial de  $\mathbb{R}$ ,  $[a, b] \subset I$  segment de  $\mathbb{R}$

### 1) la formule de Taylor Young

th1:  $f: I \rightarrow \mathbb{R}$ ,  $C^n$  sur  $I$ ,  $a \in I$  tq  $f^{(n+1)}(a)$  existe  
Alors  $f(a+h) = \sum_{k=0}^n \frac{h^k}{k!} f^{(k)}(a) + \frac{h^{n+1}}{(n+1)!} f^{(n+1)}(a) + o(h^{n+1})$

rem 2: on ne peut pas dire d'emblée que la série converge ni que si elle converge la fonction est égale à la somme de cette série.

ex 3:  $\sum_{n=0}^{\infty} \frac{e^{-1/n^2}}{n!} x^n$  ne coïncide pas avec sa série de Taylor sauf en 0.

•  $f(x) = \sum_{n=0}^{\infty} e^{-n} e^{inx}$  est déivable en tout ordre mais sa série de Taylor diverge.

app4: permet d'obtenir les développements limités usuels :

$$\text{ex 5: } \sin x = \sum_{k=0}^{\infty} \frac{(-1)^k}{(2k+1)!} x^{2k+1} + o(x^{2k+2})$$

app6: permet de calculer certaines limites

$$\text{ex 7: } \lim_{x \rightarrow 0} \frac{\tan x - x}{\sin x - x} = -2$$

app8: soit  $f \in C^0(I, \mathbb{R})$  et  $a \in I$  un zéro de  $f$  d'ordre fini. Alors  $a$  est un point isolé. Ainsi si  $f$  possède une infinité de zéros dans  $[a, b] \subset I$ , il existe au moins un zéro d'ordre infini.

app9: permet d'établir la nature de certaines séries numériques.

ex 10:  $\sum_{n=0}^{\infty} \sin(\pi \sqrt{n+1})$  converge

app11: th de Darboux:  $f: I \rightarrow \mathbb{R}$  déivable sur  $I$ . Alors  $f'(I)$  est un intervalle.

app12: étude affine locale d'une courbe plane.  $f: I \rightarrow \mathbb{R} C^\infty$  arc paramétré du plan  $\mathbb{R}^2$   
 $p = \min \{ n, f^{(n)}(t) \neq 0 \}$  q le plus petit entier > p  
 $\pi_q \left( \frac{f^{(q)}(t)}{q!}, \frac{f^{(p)}(t)}{p!} \right)$  libre. Alors  $\tilde{v} = \frac{f^{(p)}(t)}{p!}, \tilde{w} = \frac{f^{(q)}(t)}{q!}$

p impair q pair : point ordinaire p,q impairs inflexion q impair p pair : rebroussement p,q pairs : rebroussement 1<sup>e</sup> espèce (fig 1)  
 p,q pairs : rebroussement 2<sup>e</sup> espèce.

app13: th Central-Limite ( $\Omega, \mathcal{A}, \mathbb{P}$ ) espace probabilisé  $(X_n)$  de réelles IID admettant un moment d'ordre 2.  $m = \mathbb{E}[X_1]$   $\sigma^2 = \text{Var}(X_1)$

$$\text{Alors } \frac{X_1 + \dots + X_n - nm}{\sigma \sqrt{n}} \xrightarrow{\text{loi}} \mathcal{N}(0, 1)$$

ex 14:  $X_i \sim B(1, p)$  lim  $\mathbb{P}\left(\frac{S_n - np}{\sqrt{np(1-p)}} \leq b\right) =$   
 $= \int_a^b \frac{e^{-t^2/2}}{\sqrt{2\pi}} dt$  formule de Moivre-Laplace.

### 2) la formule de Taylor Lagrange

th 15:  $f: [a, b] \rightarrow \mathbb{R}, C^n$ ,  $f^{(n+1)}$  existe sur  $[a, b]$   
 Alors  $\exists c \in [a, b]$ ,  $f(b) = \sum_{k=0}^n \frac{(b-a)^k}{k!} f^{(k)}(a) + \frac{(b-a)^{n+1}}{(n+1)!} f^{(n+1)}(c)$

rem 16:  $n=0$  c'est la formule des accroissements finis.

app17: permet d'obtenir des encadrements.

$$\text{ex 18: } x - \frac{x^2}{2} \leq \ln(1+x) \leq x - \frac{x^2}{2} + \frac{x^3}{3} \quad \forall x \geq 0$$

app19: permet de calculer certaines limites

$$\text{ex 20: } \lim_{n \rightarrow \infty} \sum_{k=1}^n \frac{(-1)^{k-1}}{k} = \ln 2$$

• soit  $f \in C([0, 1], \mathbb{R}^{>0})$  Alors  
 $\lim_{x \rightarrow 0^+} \left( \int_0^1 f(t) \frac{dt}{t} \right)^{1/x} = \exp \int_0^1 \ln(f(t)) dt$

prop 2

app 21: méthode de Newton  $f: [c,d] \rightarrow \mathbb{R}$   $C^2$  et  $f'(c) < 0 < f(d)$ ,  $f'(x) > 0$  sur  $[c,d]$ ,  $x_{n+1} = F(x_n)$ ,  $f(a) = 0$   
 Alors: -  $(x_n)$  converge d'ordre 2 vers  $a$   
 - si de plus  $f'' > 0$  sur  $[c,d]$  Alors  $(x_n)$  converge concave et  $x_{n+1} - a \approx \frac{1}{2} \frac{f''(a)}{f'(a)} (x_n - a)^2$

ex 22:  $f(x) = x^2 - y$  on obtient une valeur approchée de  $\sqrt{y}$ .

rem 24: si on ne sait pas calculer  $f'$  on peut aussi faire la méthode des sécantes, mais on a besoin de 2 points initiaux.

app 25: inégalités de Kolmogorov pour  $f \in C^0(\mathbb{R}, \mathbb{R})$   
 $\forall p \in [0, n]$ ,  $M_p = \sup_{t \in \mathbb{R}} |f^{(p)}(t)| \in \mathbb{R}^+ \cup \{\infty\}$ ,  $M_0, M_n \in \mathbb{R}$   
 Alors:  $\forall p \in [0, n]$ ,  $M_p \in \mathbb{R}$

-  $\forall m \in [1, n]$ ,  $\forall k \in [0, m]$ ,  $M_k \leq 2 \sum_{l=k}^{m-1} M_l$

3) formule de Taylor avec reste intégral

th 26:  $f: [a,b] \rightarrow \mathbb{R}$ ,  $C^{n+1}$  Alors

$$f(b) = \sum_{k=0}^n \frac{(b-a)^k}{k!} f^{(k)}(a) + \int_a^b \frac{(b-t)^n}{n!} f^{(n+1)}(t) dt$$

app 27: permet d'établir la nature de certaines séries.

ex 28:  $\sum_{n \geq 1} \frac{c_n (\ln n)}{n}$  diverge

app 29:  $e$  n'est pas quadratique.

rem 30: on peut obtenir ce résultat par Taylor Lagrange

app 31: th de Bernstein pour les séries entières:  $a > 0$

$f \in C^0([J-a, a], \mathbb{R})$  tq  $\forall p \in \mathbb{N}$ ,  $\forall x \in J-a, a$   $\int_a^x f^{(2p)}(u) du \geq 0$  Alors  $f$  développable en série entière sur  $J-a, a$ .

app 32: évaluation de l'erreur en intégration numérique:  $w$  continue  $> 0$  sur  $[a, b]$ ,  $\beta \in \mathbb{R}$  tq  $\int_a^b w(x) dx$  converge. Méthode d'ordre  $N > 0$  tq  $f \in C^{N+1}([a, b])$

$$E(f) = \int_a^b f(x) w(x) dx - \sum_{j=0}^N f_j f(x_j)$$

$$\text{Alors } E(f) = \frac{1}{N!} \int_a^b K_N(t) f^{(N+1)}(t) dt$$

$K_N(t) = E(u \mapsto (t-u)_+^N)$   $t \in [a, b]$  moyenne de Peano

ex 33: méthode du point milieu d'ordre 1

$$f \in C^2 \quad K_1(t) = \begin{cases} \frac{1}{2} (1-t)^2 & \text{si } t > 0 \\ \frac{1}{2} (1+t)^2 & \text{si } t \leq 0 \end{cases} \quad |E(f)| \leq \frac{1}{3} \|f''\|_\infty.$$

## II Cas des fonctions de plusieurs variables

$n, p \geq 1$   $\cup \subset \mathbb{R}^n$  ouvert non vide  $f: U \rightarrow \mathbb{R}^p$   $C^2$  restes  
 et  $U$   $h = (h_1, \dots, h_n) \in \mathbb{R}^n$

### 1) les formules

th 34: formule de Taylor avec reste intégral.  
 on suppose  $[a, a+h] \subset U$

$$f(a+h) = f(a) + df_a(h) + \int_0^1 (1-t) d^{tp} f(a+th) dt$$

th 35: formule de Taylor Young  $[a, a+h] \subset U$

$$f(a+h) = f(a) + df_a(h) + d^2 f_a(h, h) + o(\|h\|^2)$$

rem 36: on peut se ramener au cadre d'une fonction d'une variable réelle en considérant  $t \mapsto f(a+th)$

rem 37: la formule de Taylor-Lagrange existe pour les fonctions à valeurs réelles seulement.

### 2) applications

app 38: recherche des extrêmes des fonctions à valeurs réelles: soit  $f \in C^2(U, \mathbb{R})$   $a \in U$   $df_a = 0$   $\Rightarrow$  la forme quadratique associée  $d^{2p}_a$

• si  $f$  admet un minimum (resp. maximum) relatif en  $a$  alors  $\varphi$  est définie positive (resp. définie négative)

•  $\varphi$  définie positive (resp. définie négative) alors  $f$  admet un minimum (resp. maximum) relatif en  $a$ .

ex 39: pour les fonctions convexes

$$f(x) = \frac{1}{2} \langle Ax, x \rangle - b \cdot x \quad A \text{ symétrique positive ou négative.}$$

app 40: lemme d'Hadamard

$f \in C^{\infty}(\mathbb{R}^n, \mathbb{R})$ ,  $f(0) = 0$  et  $Df_0 = 0$ . Alors  $\forall a \in \mathbb{R}^n$   $a = (x_1, \dots, x_n)$   $f(a) = \sum x_i x_j \varphi_{i,j}(x_1, \dots, x_n)$  où  $\varphi_{i,j} \in \mathbb{R}^{1 \times 1}, \varphi_{i,j} \in C^{\infty}(\mathbb{R}^n, \mathbb{R})$

rem 41: • pour la dimension 1 cela signifie que  $f: \mathbb{R} \rightarrow \mathbb{R}$   $C^{\infty}$   $f(0) = 0$  se factorise sous la forme  $x g(x)$  où  $g \in C^{\infty}$ .

• on peut poursuivre le raisonnement aux ordres supérieurs : si  $f: \mathbb{R} \rightarrow \mathbb{R}$  vérifie  $f'(0) = 0$  et  $f''(0) = 0$  alors  $f(x) = x^k g(x)$ .

app 42: méthode de Newton Raphson :  $f \in C^2(\mathbb{R})$

$f(a) = 0$ ,  $f'(a) \in L(\mathbb{R}^m, \mathbb{R}^m)$  inversible. Alors  $a$  est un point fixe super attractif de  $\varphi$  (extension de la méthode de Newton).

$$\begin{cases} x^2 + xy - 4y^2 = 4 \\ xex + yex = 0 \end{cases} \quad \begin{pmatrix} x \\ y \end{pmatrix} = \begin{pmatrix} 2 \\ 0 \end{pmatrix}$$

$$(b) \approx \begin{pmatrix} -2,126932304 \\ 0,206248156 \end{pmatrix} \quad p=4$$

app 44: lemme de Morse :  $U \ni 0$  ouvert de  $\mathbb{R}^n$   $f: U \rightarrow \mathbb{R}$   $C^3$ .  $Df_0 = 0$  non dégénéré de signature  $(p, n-p)$ . Alors  $\exists C^1$ -difféomorphisme  $\varphi: u \mapsto u$  entre

deux voisinages de l'origine dans  $\mathbb{R}^n$  tq  $\varphi(0) = 0$  et  $f(u) - f(0) = u_1^2 + \dots + u_p^2 - u_{p+1}^2 - \dots - u_n^2$ .

en 45:  $f(x, y) = x^2 - y^2 + \frac{y^4}{4} = 0$

projection de l'intersection d'un cylindre et d'une sphère tangents (fig 3)

Rouvière ??

app 46: étude affine locale d'une surface  $S$  d'équation  $z = f(x, y)$   $f \in C^3$  au voisinage de  $a \in \mathbb{R}^2$ . Dès lors non dégénéré on peut discuter la position relative de  $S$  par rapport à son plan tangent en  $(a, f(a))$  (fig 2)

app 47:  $T: S \mapsto M(s)$  courbe dans  $\mathbb{R}^3$   $C^3$   $s$  abscisse curviligne ( $T, N, B$ ) trièdre de Frenet au point  $M(s)$  Alors

$$\overrightarrow{M(s)} \overrightarrow{M(s+h)} = X(s) \vec{T} + Y(s) \vec{N} + Z(s) \vec{B}$$

$$\text{avec } X(s) = h - \frac{1}{6R(s)^2} h^3 + o(h^3)$$

$$Y(s) = \frac{1}{2R(s)} h^2 - \frac{R'(s)}{6R(s)} h^3 + o(h^3)$$

$$Z(s) = \frac{1}{6R(s)T(s)} h^3 + o(h^3)$$

$\frac{1}{R(s)}$  courbure  $\frac{1}{T(s)}$  torsion au point  $M(s)$ .

références: Demarly, Bourdon Analyse, Rouvière Barbe-Ledoux, Objectif Aggrégation, Madère Nourdin.

dop 2

fig 1:

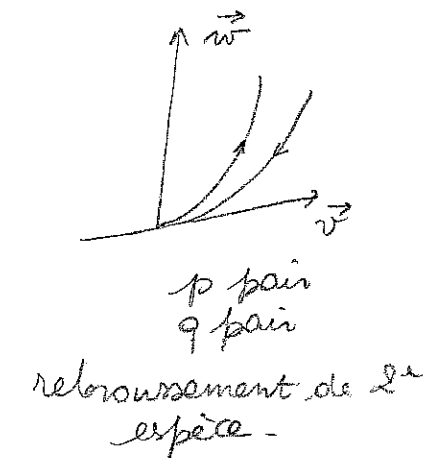
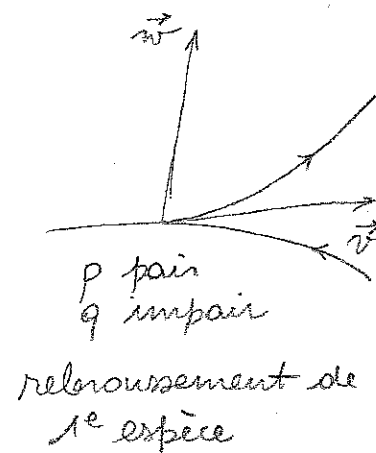
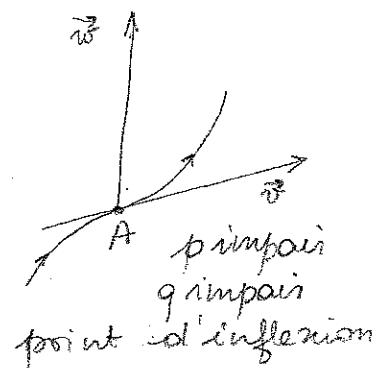
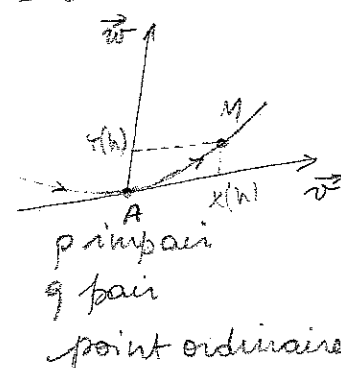
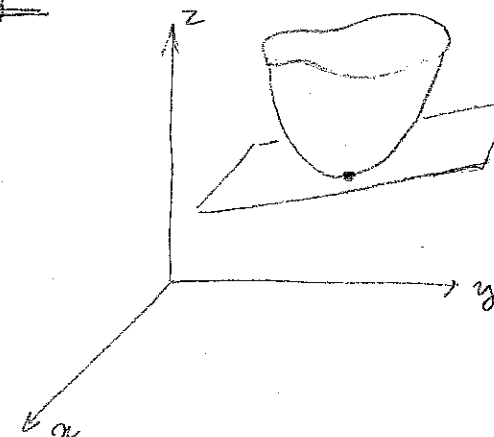
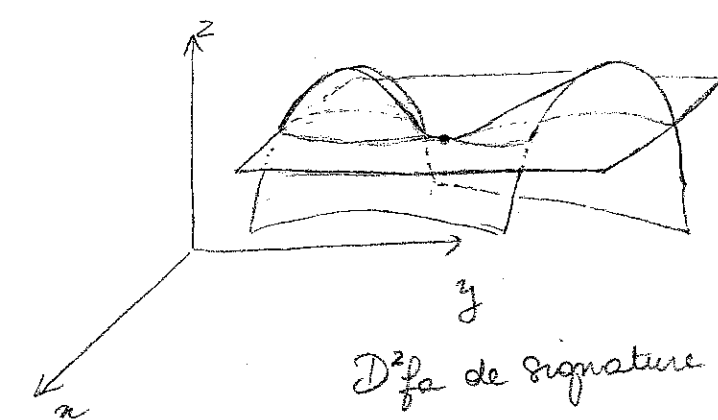


fig 2:



$z = f(x,y)$   
et plan tangent  
 $D^2f_A$  de signature  $(+,+)$



$D^2f_A$  de signature  $(+,-)$

fig 3:

